

黎曼流形上的优化方法

张晋

2021 年 7 月 30 日

目录

1	Introduction	2
1.1	问题描述	2
1.2	流形优化介绍	2
2	黎曼几何基础	3
2.1	切向量	3
2.2	切空间	4
2.3	内积	4
2.4	方向导数	4
2.5	黎曼梯度	5
2.6	黎曼 Hessian	5
2.7	测地线	6
2.8	指数映射	6
2.9	对数映射	7
2.10	测地距离	7
3	流形优化算法	8
3.1	黎曼最速下降法	8
3.2	黎曼牛顿法	8
3.3	原问题求解	8
4	附录	9
4.1	测地线的计算	9
5	相关书籍推荐	10

1 Introduction

1.1 问题描述

对于两个 \mathbb{R}^3 中的对应点集 $\mathcal{P} = \{\mathbf{p}_1, \mathbf{p}_2, \dots, \mathbf{p}_n\}$ 和 $\mathcal{Q} = \{\mathbf{q}_1, \mathbf{q}_2, \dots, \mathbf{q}_n\}$, 我想找到一个旋转变换使得两个点集在 L1 范数的意义下配准 (对于一般的点云配准来说, 此处还需要平移变换, 但为简化起见这里省略)。用数学方式来表示, 就是想找到一个旋转矩阵 R^* 使得:

$$R^* = \arg \min_{R \in \text{SO}(3)} \sum_{i=1}^n \|Rp_i - q_i\|_1 \quad (1)$$

矩阵 R 如果属于旋转矩阵 $\text{SO}(3)$, 则需要满足的条件为:

$$RR^T = I_3, \det(R) = 1$$

可将其写成矩阵的形式

$$R^* = \arg \min_{R \in \text{SO}(3)} \|RP - Q\|_1 \quad (2)$$

其中 $P = [\mathbf{p}_1, \mathbf{p}_2, \dots, \mathbf{p}_n] \in \mathbb{R}^{3 \times n}$, $Q = [\mathbf{q}_1, \mathbf{q}_2, \dots, \mathbf{q}_n] \in \mathbb{R}^{3 \times n}$ 。这里的 $\|\cdot\|_1$ 表示矩阵所有元素的绝对值之和。

1.2 流形优化介绍

如果没有 $\text{SO}(3)$ 这个约束条件, 那么我们可以直接计算目标函数的次梯度, 然后使用梯度下降方法求解即可。

$$f(R) = \|RP - Q\|_1 \quad (3)$$

$$\nabla_R f = \text{sign}(RP - Q) \cdot P^T \quad (4)$$

但问题在于我们的 R 需要满足 $\text{SO}(3)$ 约束, 单纯使用梯度下降并不能保证满足约束条件。但幸运的是, $\text{SO}(3)$ 是欧式空间 \mathbb{R}^9 中的光滑子流形, 我们可以将每一步的迭代点都限制在流形上, 然后就可以在流形空间中使用那些无约束优化方法了, 这就是流形优化。

直观的解释可以参考下图, 假设约束流形为 \mathcal{M} , 已知当前迭代点为 x_k , 我们先计算目标函数在欧式空间的梯度 $-\nabla f(x_k)$, 但新迭代点 $x_k - \nabla f(x_k)$ 不一定在流形 \mathcal{M} 上, 因此我们需要考虑如何构造一个合适的映射, 将欧式空间的中的点映射到 \mathcal{M} 。

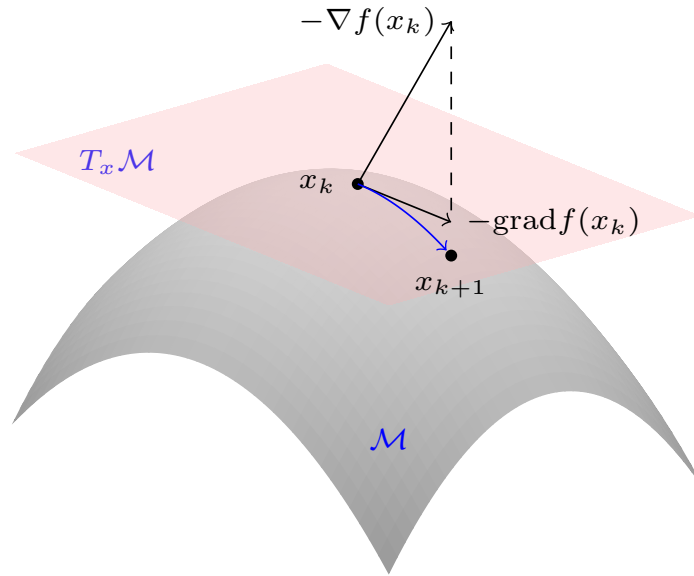


图 1: 流形优化示意图

首先考虑到切空间 $T_{x_k} \mathcal{M}$ 是流形 \mathcal{M} 在点 x_k 处的线性近似，因此一个很自然的想法就是先将欧式空间的点投影到切空间 $T_{x_k} \mathcal{M}$ 上，然后再将 $T_{x_k} \mathcal{M}$ 上的点映射到 \mathcal{M} ，这样就完成了一次黎曼梯度下降。常规的拟牛顿法、信赖域法等优化方法都能拓展到流形优化中。

现在我们大体思路已经明确，接下来就是具体计算每一步的变换。若只是快速上手应用，那么直接套公式即可，但如果想弄清楚公式的每一步是怎么来的，那么还需要一些黎曼几何的基础知识。

2 黎曼几何基础

2.1 切向量

$R(t)$ 是定义在 $\text{SO}(3)$ 上的一条光滑曲线，如果 $R(t_0) = A$ ，那么 $H = \dot{R}(t_0)$ 就是点 A 处的一个切向量。由于 $R(t)^T R(t) = I$ ，于是有：

$$\dot{R}(t)^T R(t) + R(t)^T \dot{R}(t) = 0$$

也就是说在 $\text{SO}(3)$ 流形中，点 A 处的切向量 H 需要满足 $H^T A + A^T H = 0$ 。

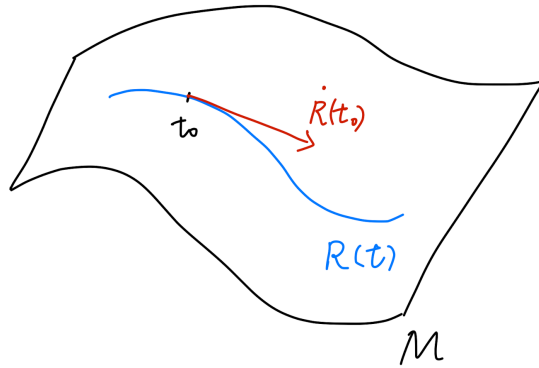


图 2: 示意图

2.2 切空间

所有曲线在点 A 处的切向量构成一个切空间 $T_A\text{SO}(3)$ ，其定义为：

$$T_A\text{SO}(3) = \{H : H^T A + A^T H = 0\}$$

设 $\Omega = A^T H$ ，那么也可写成：

$$T_A\text{SO}(3) = \{A\Omega : \Omega + \Omega^T = 0\}$$

注意此处的 Ω 是一个反对称矩阵。我们知道每一个旋转矩阵都能表示为一个反对称矩阵的指数映射，而此处点 A 所对应的反对称矩阵恰恰就是 Ω ，这一点我们会在后面提到。

2.3 内积

在定义了切空间后，我们需要在流形的切空间上定义内积。欧式空间中内积的定义为 $\langle a, b \rangle = a^T b$ ，很自然地，我们可以将该定义沿用到子流形 $\text{SO}(3)$ 上，切空间 $T_X\text{SO}(3)$ 上的内积可定义为

$$\langle A, B \rangle_X := \text{vec}(A)^T \text{vec}(B) = \text{tr}(A^T B)$$

在切空间中定义了内积后，自然便有了黎曼度量，该流形也就可以称作黎曼流形了。

2.4 方向导数

对于光滑的实值函数 $f : \text{SO}(3) \rightarrow \mathbb{R}$ ，我们可以在切空间上定义 f 沿着切向量 $H \in T_X\text{SO}(3)$ 的方向导数：

$$Df(X)[H] = \lim_{t \rightarrow 0} \frac{f(X + tH) - f(X)}{t}$$

2.5 黎曼梯度

对于黎曼流形 \mathcal{M} ，函数 f 在 x 点处的黎曼梯度 $\text{grad}f(x)$ 是 $T_x\mathcal{M}$ 中的一个向量，由条件(5)唯一确定。

$$\langle \text{grad}f(x), \xi \rangle_x = Df(x)[\xi], \quad \forall \xi \in T_x\mathcal{M} \quad (5)$$

黎曼梯度的方向也是使方向导数最大化的方向。

由于 $\text{SO}(3)$ 是欧式空间中的黎曼子流形，因此其黎曼梯度就是欧式空间中的梯度 $\nabla f(X)$ 在切空间 $T_X\text{SO}(3)$ 上的投影：

$$\text{grad}f(X) = \mathcal{P}_{T_X\text{SO}(3)}(\nabla f(X))$$

投影的计算公式为：

$$\mathcal{P}_{T_X\text{SO}(3)}(M) = X \text{skew}(X^T M),$$

其中 skew 是反对称算子： $\text{skew}(A) = \frac{A-A^T}{2}$ 。

最终算得：

$$\begin{aligned} \text{grad}f(X) &= \frac{1}{2}(\nabla f(X) - X\nabla^T f(X)X) \\ &= \nabla f(X) - X \text{sym}(X^T \nabla f(X)) \end{aligned} \quad (6)$$

其中 $\text{sym}(A) = \frac{A+A^T}{2}$ 。

2.6 黎曼 Hessian

对于黎曼流形 \mathcal{M} 上的实值函数 $f: \mathcal{M} \rightarrow \mathbb{R}$ ，给定黎曼联络 $\tilde{\nabla}$ ，可计算其黎曼 Hessian：

$$\text{Hess}f(x)[\xi] := \tilde{\nabla}_\xi \text{grad}f(x), \quad \xi \in T_x\mathcal{M}$$

同样的，要计算 $\text{SO}(3)$ 的黎曼 Hessian，只需将其黎曼梯度在欧式空间中的方向导数投影到切空间上即可：

$$\begin{aligned} \text{Hess}f(X)[U] &= \mathcal{P}_{T_X\text{SO}(3)}(D\text{grad}f(X)[U]) \\ &= \mathcal{P}_{T_X\text{SO}(3)}(\nabla^2 f(X)[U] - U \text{sym}(X^T \nabla f(X)) - XS) \\ &= \mathcal{P}_{T_X\text{SO}(3)}(\nabla^2 f(X)[U] - U \text{sym}(X^T \nabla f(X))) \end{aligned}$$

其中 $S = \text{sym}(U^T \nabla f(X) + X^T \nabla^2 f(X)[U])$ ， $U \in T_X\text{SO}(3)$ ，可算出 XS 在切空间上的投影为 0。

2.7 测地线

测地线是黎曼流形上连接两点之间的最短曲线，并且测地线的沿曲线加速度 $\gamma''(t)$ 恒为 0。沿曲线加速度可以通过曲线在欧式空间中加速度的投影得到：

$$\gamma''(t) = \mathcal{P}_{T_{\gamma(t)}\mathcal{M}}(\ddot{\gamma}(t))$$

也就是说，测地线在欧式空间中的加速度方向与切空间垂直。

2.8 指数映射

我们现在要计算切空间 $T_x\mathcal{M}$ 到流形 \mathcal{M} 上的映射 f ，一个很自然的想法就是将切向量 v 投影到流形上，那么哪些条件需要被满足呢？首先，切空间的原点必须映射到切点，即 $f(0) = x$ ；然后直线 vt 在流形上的投影必然是一条测地线 $r(t)$ ；如果切向量 v 的长度变成了原来的 a 倍，那么测地线的长度也应该要增大到原来的 a 倍。我们将上面这些要求整理之后，得到如下条件：

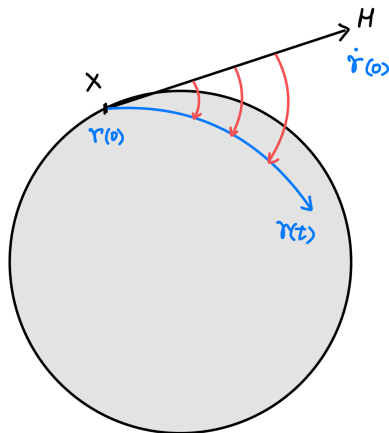


图 3: 示意图

对于黎曼流形 \mathcal{M} 上的一个点 x ，给定 x 点处的一个切向量 v ，寻找满足以下 3 个条件的测地线 $\gamma(t)$ ：

1. $\gamma(0) = x$
2. $\dot{\gamma}(0) = v$
3. $\gamma(at; x, v) = \gamma(t; x, av)$

那么可以定义从切空间 $T_x\mathcal{M}$ 到流形 \mathcal{M} 上的映射:

$$\text{Exp}(x, v) = \text{Exp}_x(v) = \gamma(1; x, v) \quad (7)$$

该映射就称为在 x 点处的指数映射。

对于 $\text{SO}(3)$ 流形, 以 X 为起点, 沿切向量 H 方向延伸的测地线方程如下, 具体推导过程见附录。

$$\gamma(t) = X \exp(tX^T H) \quad (8)$$

由此可知 $\text{SO}(3)$ 在 X 处的指数映射为:

$$\text{Exp}_X(H) = X \exp(X^T H) \quad (9)$$

2.9 对数映射

对数映射从流形映射到切空间, 是指数映射的逆, $\text{SO}(3)$ 在 X 处的对数映射为:

$$\text{Log}_X(Y) = X \log(X^T Y) \quad (10)$$

2.10 测地距离

对于点 Y , 若 $\text{Log}_X(Y) = V$, 那么有 $\text{Exp}_X(V) = Y$, 我们可以写出 X 到 Y 的测地线方程:

$$\gamma(t) = X \exp(tX^T V) \quad (11)$$

其中 $\gamma(0) = X, \gamma(1) = Y$, 那么 X 到 Y 的测地距离为:

$$\begin{aligned} \text{dist}(X, Y) &= \int_0^1 \|\gamma'(t)\|_{\gamma(t)} dt \\ &= \int_0^1 \|\gamma(t)X^T V\|_{\gamma(t)} dt \\ &= \int_0^1 \|V\|_{\gamma(t)} dt \\ &= \|V\| \end{aligned} \quad (12)$$

由此可见 V 的模长 $\|V\|$ 就是 X 到 Y 的测地距离。

我们闲得无聊可以继续往下算, 先设 $\exp(\theta[n]_{\times}) = X^T Y$, 那么有:

$$\begin{aligned} \text{dist}(X, Y)^2 &= \langle X\theta[n]_{\times}, X\theta[n]_{\times} \rangle \\ &= \theta^2 \text{tr}([n]_{\times}^T \cdot [n]_{\times}) \\ &= 2\theta^2 \end{aligned} \quad (13)$$

也就是说 X 到 Y 的测地距离为 $\sqrt{2}\theta$, 这里的 θ 是矩阵 $X^T Y$ 的旋转角。

3 流形优化算法

3.1 黎曼最速下降法

黎曼最速下降法以 x_k 处的负黎曼梯度方向为搜索方向 $\eta_k = -\text{grad}f(x_k)$, 然后通过线搜索寻找合适的步长 t_k , 最后通过指数映射将切向量 $t_k\eta_k$ 映射到流形 \mathcal{M} 上, 作为下一个迭代点 $x_{k+1} = \text{Exp}_{x_k}(t_k\eta_k)$ 。

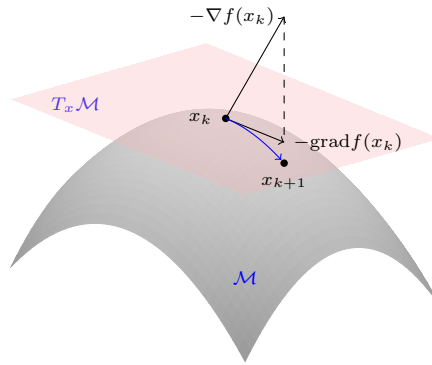


图 4: 黎曼最速下降法

Algorithm 1 黎曼最速下降法

- 1: Construct an initial $x_0 \in \mathcal{M}$
 - 2: **for** $k = 0, 1, 2, \dots$ **do**
 - 3: $\eta_k = -\text{grad}f(x_k)$ ▷ 计算搜索方向
 - 4: Choose $t_k > 0$ ▷ 计算 Armijo 步长
 - 5: $x_{k+1} = \text{Exp}_{x_k}(t_k\eta_k)$ ▷ 映射回流形上
 - 6: **end for**
-

3.2 黎曼牛顿法

黎曼流形上的牛顿迭代步如下:

$$x_{k+1} = x_k - (\text{Hess} f(x_k))^{-1} [\text{grad} f(x_k)] \quad (14)$$

3.3 原问题求解

由于原问题中的 Hess 阵恒为 0, 因此不能直接使用牛顿法, 这里我们采用拟牛顿法进行求解。此外为了加快算法的收敛性, 我们用 Huber 函数近似代替绝对值函数。该程序可通过调用 [Manopt 优化库](#) 实现。

4 附录

4.1 测地线的计算

计算 $SO(3)$ 流形上以 X 为起点, 沿切向量 H 方向延伸的测地线方程。

$$\gamma^T(t) \cdot \gamma(t) = I \quad (15)$$

$$\dot{\gamma}^T(t) \cdot \gamma(t) + \gamma^T(t) \cdot \dot{\gamma}(t) = 0 \quad (16)$$

设 $\Omega(t) = \gamma^T(t) \cdot \dot{\gamma}(t)$, 显然 $\Omega(t)$ 是反对称矩阵, 也有:

$$\dot{\gamma}(t) = \gamma(t) \cdot \Omega(t) \quad (17)$$

$\dot{\gamma}(t)$ 显然是属于切平面 $T_X SO(3)$ 的, 因此沿曲线导数就是它本身:

$$\gamma'(t) = \mathcal{P}_{T_{\gamma(t)}\mathcal{M}}(\dot{\gamma}(t)) = \dot{\gamma}(t) \quad (18)$$

于是可以计算:

$$\begin{aligned} \gamma''(t) &= \mathcal{P}_{T_{\gamma(t)}\mathcal{M}}\left(\frac{d}{dt}\gamma'(t)\right) \\ &= \mathcal{P}_{T_{\gamma(t)}\mathcal{M}}(\ddot{\gamma}(t)) \\ &= \mathcal{P}_{T_{\gamma(t)}\mathcal{M}}(\dot{\gamma}(t) \cdot \Omega(t) + \gamma(t) \cdot \dot{\Omega}(t)) \end{aligned} \quad (19)$$

上文提到过投影的计算公式为:

$$\mathcal{P}_{T_X SO(3)}(M) = X \text{skew}(X^T M)$$

可计算得:

$$\begin{aligned} &\gamma^T(t) \left(\dot{\gamma}(t) \cdot \Omega(t) + \gamma(t) \cdot \dot{\Omega}(t) \right) \\ &= \gamma^T(t) \cdot \dot{\gamma}(t) \cdot \Omega(t) + \gamma^T(t) \cdot \gamma(t) \cdot \dot{\Omega}(t) \\ &= \Omega^2(t) + \dot{\Omega}(t) \end{aligned} \quad (20)$$

由于 $\Omega^2(t)$ 为对称阵, $\dot{\Omega}(t)$ 为反对称阵, 因此有:

$$\gamma''(t) = \gamma(t) \text{skew}(\Omega^2(t) + \dot{\Omega}(t)) = \gamma(t) \cdot \dot{\Omega}(t) \quad (21)$$

$$\dot{\Omega}(t) = \gamma^T(t) \gamma''(t) \quad (22)$$

由于 $\gamma(t)$ 为测地线, 有 $\gamma''(t) = 0$, 于是可推导出:

$$\Omega(t) = \gamma^T(0) \cdot \dot{\gamma}(0) = X^T H \quad (23)$$

解微分方程 $\gamma(t) \cdot \Omega = \dot{\gamma}(t)$ 得:

$$\gamma(t) = X \exp(tX^T H) \quad (24)$$

5 相关书籍推荐

[Hu et al., 2019] 是袁亚湘团队对流形优化的一个简要介绍，可以看一看作为入门。

[Boumal, 2020] 最近新出的一本介绍流形优化的书，排版精美内容详实，如果想深入了解的话强烈推荐看这本书。

[Absil et al., 2008] 为数不多介绍矩阵流形的书，也可以看一看。

[Boumal and Absil, 2011] 主要是 $SO(3)$ 上的流形优化。

[Solà et al., 2020] 这个从机器人应用角度来介绍 $SO(3)$ 上的李群理论。

[Boumal et al., 2013] 是一个 MATLAB 的流形优化库，可以快速上手。

参考文献

[Absil et al., 2008] Absil, P.-A., Mahony, R., and Sepulchre, R. (2008). *Optimization algorithms on matrix manifolds*. Princeton University Press, Princeton, N.J. ; Woodstock. OCLC: ocn174129993.

[Boumal, 2020] Boumal, N. (2020). An introduction to optimization on smooth manifolds. *Available online, Aug*, page 310.

[Boumal and Absil, 2011] Boumal, N. and Absil, P. A. (2011). A discrete regression method on manifolds and its application to data on $SO(n)$. *IFAC Proceedings Volumes*, 44(1):2284–2289.

[Boumal et al., 2013] Boumal, N., Mishra, B., Absil, P.-A., and Sepulchre, R. (2013). Manopt, a Matlab toolbox for optimization on manifolds. *arXiv:1308.5200 [cs, math, stat]*. arXiv: 1308.5200.

[Hu et al., 2019] Hu, J., Liu, X., Wen, Z., and Yuan, Y. (2019). A Brief Introduction to Manifold Optimization. *arXiv:1906.05450 [math]*. arXiv: 1906.05450.

[Solà et al., 2020] Solà, J., Deray, J., and Atchuthan, D. (2020). A micro Lie theory for state estimation in robotics. *arXiv:1812.01537 [cs]*. arXiv: 1812.01537.